

سازمان فضایی ایران



پژوهشگاه هوافضا

پایان نامه کارشناسی ارشد

مهندسی هوافضا - مهندسی فضایی

تحلیل سلامت سازه بر اساس امپدانس الکترومکانیک  
مواد پیزوالکتریک

یدالله رضازاده

استاد راهنما

دکتر محمد طاھای ابدی

خرداد ۱۳۹۰

بِسْمِ اللّٰهِ الرَّحْمٰنِ الرَّحِيْمِ

سازمان فناوری ایران



پژوهشگاه هواشناسی

نام و نام خانوادگی دانشجو: یدالله رضازاده

عنوان پایان نامه یا رساله: تحلیل سلامت سازه بر اساس امپدانس الکترومکانیک مواد

پیزوالکتریک

تاریخ دفاع:

رشته: مهندس فضایی

گرایش: هواشناسی

### هیئت داوران

۱- آقای دکتر محمد طاهای ابدی

۲- دکتر فمیدا فلاح رجبزاده

۳- آقای دکتر سعید شکرالهی

مدیر تحصیلات تکمیلی پژوهشگاه هواشناسی

دکتر فمیدا فلاح رجبزاده

## تأییدیهٔ صحت و اصالت نتایج

اینجانب یدالله رضازاده به شماره دانشجویی ۸۷۲۱۱۰۲ دانشجوی رشته مهندسی فضایی مقطع تحصیلی کارشناسی ارشد تأیید می‌نمایم که کلیه نتایج این پایان‌نامه / رساله حاصل کار پژوهشی اینجانب تحت نظارت و راهنمایی استاد پژوهشگاه هوافضاست و موارد نسخه‌برداری شده از آثار دیگران را با ذکر کامل مشخصات منبع ذکر کرده‌ام. در صورت اثبات خلاف مندرجات فوق، به تشخیص پژوهشگاه مطابق با ضوابط و مقررات حاکم (قانون حمایت از حقوق مؤلفان و مصنفان و قانون ترجمه و تکثیر کتب و نشریات و آثار صوتی، ضوابط و مقررات آموزشی، پژوهشی و انضباطی ...) با اینجانب رفتار خواهد شد و حق هرگونه اعتراض درخصوص احراق حقوق مکتب و تشخیص و تعیین تخلف و مجازات را از خویش سلب می‌نمایم. در ضمن، مسئولیت هرگونه پاسخ‌گویی به اشخاص، اعم از حقیقی و حقوقی و مراجع ذی‌صلاح (اعم از اداری و قضایی)، به عهده اینجانب خواهد بود و پژوهشگاه هیچ‌گونه مسئولیتی در این خصوص نخواهد داشت.

نام و نام خانوادگی: یدالله رضازاده

امضا و تاریخ:

## **مجوز بهره‌برداری از پایان‌نامه**

بهره‌برداری از این پایان‌نامه در چهارچوب مقررات پژوهشگاه هوافضا بلامانع است.

بهره‌برداری از این پایان‌نامه برای همکاران پژوهشگاه هوافضا بلامانع است.

بهره‌برداری از این پایان‌نامه برای سایرین با اخذ مجوز از معاون پژوهشی و استاد(ان) راهنمای

بلامانع است.

استاد راهنمای:

یدالله رضازاده:

آقای دکتر محمد طلاهای ابدی

خداوند را سپاس می‌گوییم به من فرصت داد تا عمر خود را در راه تحصیل علم و دانش سپری کنم و همواره استادانی دلسوز و فرزانه بر سر راهم قرار داد تا در این راه دراز و بی پایان علم جویی، راهنمای راهم و تسکین آتش سیری ناپذیرم باشند. به امید آنکه به یاد خورشید تابان راهم، شمع کوچکی بر سر راه تشنگان دیگر باشم.

با تشکر از

راهنمای دلسوز و فرزانه، مشوق راه علم

استاد ارجمند

دکتر محمد طاهای ابدی

خورشید تابان زندگیم

مادرم

مايه پر فروغ زندگیم

پدرم

و همه کسانی که از گذشته تاکنون، مرا در راه رسیدن به اهدافم یاری نموده‌اند.

## تقدیم به:

خانواده‌ام و آنادکه آفتاب مهرشان در آستانه قلبم همچنان  
پا بر جاست و هر گز غروب نخواهد کرد.

## چکیده

آشکارسازی سلامت سازه در حین سرویس دهی باعث کاهش هزینه تعمیر و نگهداری، افزایش زمان بهرهوری و قابلیت اطمینان می شود. شناسایی عیوب براساس امپدانس سازه یکی از روش های آشکارسازی سلامت سازه است که مقدار آن در هر نقطه به هندسه و خواص مواد وابسته است. با توجه به مشکلات اندازه گیری مستقیم امپدانس مکانیکی سازه در حین سرویس دهی، لایه های پیزوالکتریکی به سازه متصل می شود و امپدانس الکترومکانیکی آنها اندازه گیری می شود. این تحقیق روشی برای شناسایی عیوب براساس امپدانس الکترومکانیکی سازه ارائه می دهد. ابتدا روش اجزای محدودی برای محاسبه امپدانس الکترومکانیکی مبدل های پیزوالکتریکی متصل به سازه ارائه می شود و امپدانس الکترومکانیک بر حسب هندسه و خواص مواد تشکیل دهنده مبدل پیزوالکتریک و سازه تعیین می شود. پاسخ الکترومکانیک لایه های پیزوالکتریک براساس رفتار ناهمسانگرد خطی آنها تعیین می شود و اثر کوپل میدان تغییر شکل و میدان اختلاف پتانسیل در تحلیل آنها در نظر گرفته می شود. پس از صحه گذاری این روش با مقایسه نتایج آزمایشگاهی و مدل های تحلیلی پژوهشگران پیشین، این روش برای تعیین امپدانس مبدل های پیزوالکتریک متصل به سازه سالم و معیوب استفاده می شود و شاخصی برای ارزیابی سلامت سازه محاسبه می شود. نتایج تحلیل نشان می دهد مقدار این شاخص نسبت به عیوب هندسی بسیار کوچک در مقایسه با بعد سازه حساس است. فرکانس های تشدید الکترومکانیک نیز با این روش تعیین می شود که مقایسه آنها در سازه سالم و معیوب نشان می دهد مقدار فرکانس های تشدید نسبت به خواص سازه بسیار حساس است. آرایشی از مبدل های پیزوالکتریک برای تعیین موقعیت هندسی عیوب در سازه استفاده می شود و با شبیه سازی امپدانس هر یک از مبدل ها و محاسبه شاخص نشان داده می شود فاصله عیوب نسبت به مبدل تأثیر قابل توجهی بر تغییر امپدانس الکترومکانیک دارد که به عنوان معیاری برای تعیین موقعیت عیوب سازه استفاده می شود. کلیه پارامترهای مؤثر بر عملکرد این روش آشکارسازی سلامت سازه تحلیل می شود و مقدار بهینه آنها براساس هندسه و خواص سازه و لایه های پیزوالکتریک تعیین می شود.

**کلمات کلیدی:** آشکارسازی سلامت سازه، شناسایی عیوب، امپدانس، پیزوالکتریک، تشدید الکترومکانیک.

## فهرست مطالب

۱	چکیده.....
۱	۱- مقدمه.....
۱	۱- روش های آشکارسازی سلامت سازه.....
۸	۲- تعریف امپدانس الکترومکانیک.....
۱۲	۳- مروری بر تحقیقات پیشین.....
۱۶	۴- اهداف پایان نامه.....
۱۷	۵- روند کلی پایان نامه.....
۱۸	۲- پاسخ الکترومکانیک مبدل های پیزوالکتریک.....
۱۸	۱- مقدمه.....
۱۸	۲- مواد پیزوالکتریک.....
۲۱	۳- معادلات حاکم بر مواد پیزوالکتریک.....
۲۴	۳-۱- معادله مشخصه مواد پیزوالکتریک.....
۲۸	۳-۲- معادلات ارتعاشات مواد پیزوالکتریک.....
۳۱	۳-۳-۱- معرفی روش اجزای محدود.....
۳۳	۳-۳-۲- امپدانس مبدل پیزوالکتریک در ارتعاشات تک محوری.....
۴۰	۳-۳-۳- امپدانس مبدل پیزوالکتریک در ارتعاشات سه بعدی.....
۴۱	۴-۱- مبدل پیزوالکتریک مربع شکل.....
۴۹	۴-۲- مبدل پیزوالکتریک دایره ای شکل.....
۵۳	۴-۳- نتیجه گیری.....
۵۴	۳- پاسخ الکترومکانیک مبدل های پیزوالکتریک متصل به سازه.....
۵۴	۱- مقدمه.....
۵۵	۲- روش تحلیل پاسخ الکترومکانیک مبدل پیزوالکتریک متصل به سازه.....
۵۵	۲-۱- روش مستقیم اعمال ولتاژ.....
۵۸	۲-۲- تحلیل پاسخ الکترومکانیک مبدل پیزوالکتریک متصل به تیر.....
۶۱	۲-۳- تحلیل پاسخ الکترومکانیک مبدل پیزوالکتریک متصل شده به ورق مربعی.....
۶۵	۲-۴- امپدانس الکترومکانیک مبدل پیزوالکتریک متصل به ورق دایره ای.....
۶۷	۲-۵- نتیجه گیری.....
۶۸	۴- تحلیل سلامت سازه براساس پاسخ الکترومکانیک مبدل پیزوالکتریک.....
۶۸	۱- مقدمه.....
۶۹	۲-۱- معیارهای ارزیابی سلامت سازه براساس امپدانس الکترومکانیک.....
۷۲	۲-۲- بررسی شدت عیب.....
۷۴	۲-۳- بررسی اثر فاصله عیب از مبدل پیزوالکتریک.....
۷۸	۲-۴- شناسایی عیوب با استفاده از آرایش مبدل های پیزوالکتریک.....
۸۲	۲-۵- نتیجه گیری.....

۸۳.....	<b>۵- بحث و بررسی</b>
۸۳.....	۱-۵- مقدمه
۸۴.....	۲-۵- عوامل مؤثر بر پاسخ الکترومکانیک مبدل پیزوالکتریک
۸۴.....	۱-۲-۵- ابعاد مبدل پیزوالکتریک
۸۶.....	۲-۲-۵- اندازه و نوع المان‌بندی
۸۸.....	۳-۲-۵- میرایی مبدل پیزوالکتریک
۸۸.....	۴-۲-۵- خواص مکانیکی و الکتریکی مبدل پیزوالکتریک
۹۱.....	۵-۲-۵- تعداد تقسیم‌بندی‌های محدوده فرکانسی
۹۱.....	۳-۵- ارتباط فرکانس طبیعی و پاسخ الکترومکانیک مبدل پیزوالکتریک
۹۳.....	۴-۵- عوامل مؤثر بر پاسخ الکترومکانیک مبدل پیزوالکتریک متصل به سازه سالم
۹۴.....	۴-۵- موقعیت اتصال مبدل پیزوالکتریک به سازه
۹۵.....	۴-۴-۵- تغییر در شرایط مرزی تیر
۹۷.....	۳-۴-۵- اندازه مبدل پیزوالکتریک نسبت به ابعاد سازه
۹۷.....	۴-۴-۵- تغییر خواص مکانیکی پیزوالکتریک متصل به سازه
۹۸.....	۴-۴-۵- تغییر در نوع نمو فرکانسی
۹۹.....	۵-۵- عوامل مؤثر بر پاسخ الکترومکانیک مبدل پیزوالکتریک متصل به سازه معیوب
۱۰۰.....	۱-۵-۵- اثر محدوده فرکانسی
۱۰۱.....	۲-۵-۵- ارتباط بین فرکانس اول تشدید الکترومکانیکی و محل عیب
۱۰۱.....	۳-۵-۵- تعیین موقعیت ناحیه معیوب با شاخص عیب
۱۰۳.....	۴-۵-۵- بررسی اثر اندازه و فاصله عیب بر پاسخ الکترومکانیک مبدل‌های پیزوالکتریک
۱۰۶.....	۵-۵-۵- بررسی وجود دو عیب بر پاسخ الکترومکانیک مبدل‌های پیزوالکتریک
۱۰۸.....	۶-۵- نتیجه‌گیری
۱۱۰.....	<b>۶- نتیجه‌گیری</b>
۱۱۴.....	<b>۷- پیشنهادات</b>
۱۱۵.....	<b>۸- مراجع</b>
۱۲۲.....	واژه‌نامه انگلیسی به فارسی
۱۲۴.....	واژه‌نامه فارسی به انگلیسی
۱۲۶.....	<b>ABSTRACT</b>

## فهرست شکل‌ها

۱	..... شکل ۱-۱ جداشدن سقف هوایپیمای خطوط هوایی آلوها [۳]
۲	..... شکل ۱-۲ انفجار راکت دلتا [۴]
۳	..... شکل ۱-۳ انفجار فضایپیمای کلمبیا
۴	..... شکل ۱-۴ سقوط بخشی از سقف ترمینال خطوط هوایی فرانسه در چین [۶]
۵	..... شکل ۱-۵ هزینه‌های عملیاتی هوایپیما به صورت تقیکی [۳]
۶	..... شکل ۱-۶-۱ تشابه سیستم آشکارسازی فعال سلامت سازه با سیستم عصبی انسان [۸]
۷	..... شکل ۱-۶-۲ اختلاف فاز بین جریان ولتاژ
۸	..... شکل ۱-۸-۱ (الف) امپدانس مکانیکی (ب) امپدانس الکتریکی
۹	..... شکل ۱-۹-۱ تجهیزات آزمایشگاهی اندازه‌گیری پاسخ الکترومکانیک مبدل پیزوالکتریک متصل به سازه
۱۰	..... شکل ۱-۱۰-۱ مدل سیستم یک درجه آزادی [۱۷]
۱۱	..... شکل ۱-۱۱-۱ مدل دینامیکی اثر متقابل بین یک لایه پیزوالکتریک و یک سازه دو بعدی بر اساس امپدانس مکانیکی [۱۸]
۱۲	..... شکل ۱-۱۲-۱ اثر میدان الکتریک بر مبدل پیزوالکتریک در تحریک (الف) یکبعدی (ب) دو بعدی (ج) سه بعدی [۲۶]
۱۳	..... شکل ۱-۱۲-۲ (الف) دو قطبی‌های ماده پیزوالکتریک در حالت خنثی (ب) ایجاد اختلاف پتانسیل در اثر اعمال نیروی خارجی [۳۳]
۱۴	..... شکل ۲-۱-۱ روابط بین خصوصیات ماده پیزوالکتریک [۳۷]
۱۵	..... شکل ۲-۱-۲ معادلات الکترومکانیکی مبدل پیزوالکتریک [۳۸]
۱۶	..... شکل ۲-۲-۱ کرنش‌های مبدل پیزوالکتریک
۱۷	..... شکل ۲-۲-۲ نمایش امپدانس در دستگاه مختصات اعداد مختلط
۱۸	..... شکل ۲-۷-۱ حل تحلیلی مولفه‌های حقیقی و موهومی ادمیتانس در ارتعاشات تک محوری
۱۹	..... شکل ۲-۷-۲ هندسه مبدل پیزوالکتریک و المان‌بندی آن
۲۰	..... شکل ۲-۹-۱ بارالکتریکی مبدل پیزوالکتریک در ارتعاشات تک محوری (الف) مؤلفه حقیقی (ب) مؤلفه موهومی
۲۱	..... شکل ۲-۱۰-۱ تغییرات مؤلفه حقیقی و موهومی ادمیتانس در حالت‌های تحلیلی و عددی ارتعاشات تک محوری
۲۲	..... شکل ۲-۱۱-۱ هندسه مبدل پیزوالکتریک مربع شکل و المان‌بندی آن
۲۳	..... شکل ۲-۱۲-۱ بارالکتریکی مبدل پیزوالکتریک مربعی در ارتعاشات سه بعدی (الف) مؤلفه حقیقی (ب) مؤلفه موهومی
۲۴	..... شکل ۲-۱۳-۱ امپدانس محرک پیزوالکتریک مربع شکل در مقایس لگاریتمی (الف) مؤلفه حقیقی (ب) مؤلفه موهومی
۲۵	..... شکل ۲-۱۴-۱ مقایسه حل عددی امپدانس مبدل پیزوالکتریک مربع شکل با نتایج آزمایشگاهی [۳۰] (الف) مؤلفه حقیقی (ب) مؤلفه موهومی
۲۶	..... شکل ۲-۱۵-۱ بارالکتریکی مبدل پیزوالکتریک PIC-151 : (الف) مؤلفه موهومی (ب) مؤلفه حقیقی
۲۷	..... شکل ۲-۱۶-۱ مقایسه حل عددی ادمیتانس مبدل پیزوالکتریک با نتایج آزمایشگاهی : (الف) مؤلفه حقیقی (ب) مؤلفه موهومی
۲۸	..... شکل ۲-۱۷-۱ هندسه مبدل پیزوالکتریک دایره‌ای و المان‌بندی آن
۲۹	..... شکل ۲-۱۸-۱ بارالکتریکی مبدل پیزوالکتریک دایره‌ای (الف) مؤلفه حقیقی (ب) مؤلفه موهومی
۳۰	..... شکل ۲-۱۹-۱ امپدانس مبدل پیزوالکتریک دایره‌ای (الف) مؤلفه حقیقی (ب) مؤلفه موهومی
۳۱	..... شکل ۲-۲۰-۱ مقایسه حل عددی امپدانس مبدل پیزوالکتریک دایره‌ای با نتایج آزمایشگاهی [۳۰] (الف) مؤلفه حقیقی (ب) مؤلفه موهومی
۳۲	..... شکل ۲-۲۱-۱ هندسه تیر فولادی و محرک پیزوالکتریک

..... ٦٠	شكل ٢-٣ - بارالکتریکی مبدل پیزوالکتریک متصل به تیر (الف) مؤلفه حقیقی (ب) مؤلفه موهومی .....
..... ٦١	شكل ٣-٣ - مقایسه حل عددی مؤلفه حقیقی امپدانس محرک پیزوالکتریک متصل به تیر با نتایج آزمایشگاهی .....
..... ٦٢	شكل ٤-٣ - هندسه مبدل پیزوالکتریک متصل به سطح ورق و المان بندی آنها.....
..... ٦٥	شكل ٥-٣-مقایسه حل عددی روش اعمال مستقیم ولتاژ با نتایج آزمایشگاهی و روش امپدانس مجموع جهتدار (الف) مؤلفه حقیقی (ب) مؤلفه موهومی .....
..... ٦٦	شكل ٦-٣ - موقعیت اتصال مبدل پیزوالکتریک به ورق الومینیومی دایره‌ای .....
..... ٦٧	شكل ٧-٣ - مؤلفه حقیقی بارالکتریکی محرک پیزوالکتریک متصل به ورق دایره‌ای .....
..... ٧١	شكل ١-٤ - هندسه تیر معیوب فولادی با عیب دایره‌ای و موقعیت مبدل پیزوالکتریک متصل به آن .....
..... ٧٣	شكل ٢-٤ - هندسه تیر معیوب فولادی با عیب مربعی و موقعیت مبدل پیزوالکتریک متصل به آن .....
..... ٧٣	شكل ٣-٤ - ریشه میانگین مجذور انحراف برای تعیین شدت عیوب با ابعاد مختلف .....
..... ٧٤	شكل ٤-٤ - ریشه میانگین مجذور انحراف برای عیوب دایره‌ای با قطر مختلف .....
..... ٧٤	شكل ٥-٤ - هندسه ورق الومینیومی دایره‌ای .....
..... ٧٥	شكل ٦-٤ - مؤلفه حقیقی امپدانس مبدل پیزوالکتریک برای ترک در فاصله ٣ میلی‌متری .....
..... ٧٦	شكل ٧-٤ - مؤلفه حقیقی امپدانس مبدل پیزوالکتریک برای ترک در فاصله ١٠ میلی‌متری .....
..... ٧٦	شكل ٨-٤ - مؤلفه حقیقی امپدانس مبدل پیزوالکتریک برای ترک در فاصله ٢٥ میلی‌متری .....
..... ٧٦	شكل ٩-٤ - مؤلفه حقیقی امپدانس مبدل پیزوالکتریک برای ترک در فاصله ٤٠ میلی‌متری .....
..... ٧٧	شكل ١٠-٤ - ریشه میانگین مجذور انحراف در فواصل گوناگون عیب .....
..... ٧٧	شكل ١١-٤ - مبدل‌های پیزوالکتریک متصل به تیر با عیب دایره‌ای .....
..... ٧٨	شكل ١٢-٤ - ریشه میانگین مجذور انحراف برای تیر با عیوب دایره‌ای .....
..... ٧٩	شكل ١٣-٤ - ورق الومینیومی آسیب‌دیده نزدیک محرک پیزوالکتریک ششم .....
..... ٧٩	شكل ١٤-٤ - ورق الومینیومی آسیب‌دیده نزدیک محرک پیزوالکتریک دوم .....
..... ٨٠	شكل ١٥-٤ - مدل المان محدود ورق الومینیومی با شرایط مرزی .....
..... ٨١	شكل ١٦-٤ - ریشه میانگین مجذور انحراف در ورق آسیب‌دیده نزدیک محرک پیزوالکتریک ششم؛ (الف) نتایج آزمایشگاهی [٥٤] ب) نتایج شبیه‌سازی .....
..... ٨١	شكل ١٧-٤ - ریشه میانگین مجذور انحراف در ورق آسیب‌دیده نزدیک محرک پیزوالکتریک دوم؛ (الف) نتایج آزمایشگاهی [٥٤] ب) نتایج شبیه‌سازی .....
..... ٨٥	شكل ١-٥ - ادمیتانس مبدل‌های پیزوالکتریک با ابعاد مختلف (الف) مؤلفه حقیقی (ب) مؤلفه موهومی .....
..... ٨٧	شكل ٢-٥ - اثر نوع المان بندی بر پاسخ الکترومکانیک مبدل پیزوالکتریک .....
..... ٨٧	شكل ٣-٥ - بررسی اندازه المان‌ها بر پاسخ الکترومکانیک مبدل پیزوالکتریک .....
..... ٨٨	شكل ٤-٥ - بررسی اثر میرابی بر مؤلفه موهومی ادمیتانس مبدل پیزوالکتریک .....
..... ٨٩	شكل ٥-٥ - اثر مدول الاستیسیته بر مؤلفه موهومی ادمیتانس مبدل پیزوالکتریک .....
..... ٨٩	شكل ٦-٥ - اثر ضربی گذردهی الکتریکی در خلا بر مؤلفه موهومی ادمیتانس مبدل پیزوالکتریک .....
..... ٩٠	شكل ٧-٥ - اثر نسبت پواسون بر مؤلفه موهومی ادمیتانس مبدل پیزوالکتریک .....
..... ٩٠	شكل ٨-٥ - بررسی اثر ثابت‌های پیزوالکتریک بر پاسخ الکترومکانیک مبدل پیزوالکتریک .....
..... ٩١	شكل ٩-٥ - اثر تعداد تقسیم‌بندی‌ها بر مؤلفه موهومی ادمیتانس مبدل پیزوالکتریک .....
..... ٩٢	شكل ١٠-٥ - تغییرات بارالکتریکی مبدل‌های پیزوالکتریک T2 W1L1T1 در فرکانس‌های تحریک .....
..... ٩٣	شكل ١١-٥ - شکل‌مدهای افزایش طولی مبدل پیزوالکتریک W1L1T1: (الف) فرکانس ١٧١ کیلوهرتز (ب) فرکانس ٢١٢ کیلوهرتز .....
..... ٩٣	شكل ١٢-٥ - شکل‌مدهای افزایش طولی مبدل پیزوالکتریک W1L1T2: (الف) فرکانس ١٧١ کیلوهرتز (ب) فرکانس ٢١٢ کیلوهرتز .....

..... ۹۴	شکل ۱۳-۵ - موقعیت مبدل پیزوالکتریک متصل به تیر فولادی
..... ۹۵	شکل ۱۴-۵ - مؤلفه حقیقی امپدانس در موقعیت مختلف مبدل پیزوالکتریک بر روی تیر
..... ۹۶	شکل ۱۵-۵ - مؤلفه حقیقی امپدانس محرک پیزوالکتریک برای تیر آزاد و یکسر گیردار
..... ۹۷	شکل ۱۶-۵ - مؤلفه حقیقی امپدانس محرک پیزوالکتریک متصل به تیر سالم با شرایط مرزی مختلف
..... ۹۸	شکل ۱۷-۵ - بررسی اثر اندازه مبدل پیزوالکتریک نسبت به ابعاد سازه
..... ۹۹	شکل ۱۸-۵ - بررسی اثر خواص مکانیکی مبدل پیزوالکتریک نسبت به خواص مکانیکی سازه
..... ۱۰۰	شکل ۱۹-۵ - تغییرات مؤلفه حقیقی امپدانس محرک پیزوالکتریک متصل به تیر سالم در نمو فرکانسی خطی و لگاریتمی
..... ۱۰۱	شکل ۲۰-۵ - ریشه میانگین مجذور انحراف برای دو محدوده فرکانسی مختلف
..... ۱۰۲	شکل ۲۱-۵ - تغییرات اولین فرکانس تشدید در فواصل گوناگون ترک
..... ۱۰۳	شکل ۲۲-۵ - ورق آلومینیومی آسیب‌دیده در محل پیزوالکتریک پنجم
..... ۱۰۴	شکل ۲۳-۵ - ریشه میانگین مجذور انحراف در ورق دارای عیب دایره‌های در مرکز ورق
..... ۱۰۵	شکل ۲۴-۵ - هندسه ورق آلومینیومی معیوب (تمامی اندازه‌ها بر حسب میلی‌متر هستند)
..... ۱۰۶	شکل ۲۵-۵ - ریشه میانگین مجذور انحراف برای آرایش نوع اول و نوع دوم
..... ۱۰۷	شکل ۲۶-۵ - آرایش‌های سوم و چهارم مبدل‌های پیزوالکتریک
..... ۱۰۸	شکل ۲۷-۵ - ریشه میانگین مجذور انحراف برای آرایش‌های گوناگون مبدل‌های پیزوالکتریک
..... ۱۰۹	شکل ۲۸-۵ - ریشه میانگین مجذور انحراف مؤلفه حقیقی ادمیتاس برای آرایش‌های گوناگون مبدل‌های پیزوالکتریک برای عیب دایره‌های به شعاع ۰/۵ میلی‌متر
..... ۱۱۰	شکل ۲۹-۵ - ریشه میانگین مجذور انحراف مؤلفه حقیقی ادمیتاس برای آرایش‌های گوناگون مبدل‌های پیزوالکتریک برای عیب دایره‌های به شعاع ۱/۵ میلی‌متر
..... ۱۱۱	شکل ۳۰-۵ - ورق آلومینیومی دارای دو عیب
..... ۱۱۲	شکل ۳۱-۵ - ریشه میانگین مجذور انحراف در ورق دارای دو عیب دایره‌های

## فهرست جداول

۳۵	جدول ۱-۲ خواص مبدل پیزوالکتریک [11 ] APC-850
۴۵	جدول ۲-۲ - خواص مبدل پیزوالکتریک [26 ] PIC-151
۵۹	جدول ۱-۳ - خواص مبدل پیزوالکتریک [30] APC-841
۷۲	جدول ۱-۴ - مقدار معیارهای ارزیابی سلامت سازه برای عیوب دایره‌ای با شعاع مختلف
۸۴	جدول ۱-۵ - ابعاد مبدل پیزوالکتریک

## فهرست علائم و اختصارات

$B$	مؤلفه موہومی ادمیتانس (سوسپیتانس)
$c$	میانگین سرعت موج
$D_i$	مؤلفہ بردار جابه جایی الکتریکی
$d_{33}$ , $d_{32}$ , $d_{31}$	ثابت‌های کرنش پیزوالکتریک
$\tilde{D}_j$	مؤلفہ ثابت دمای جابه جایی الکتریکی
DI	شاخص آسیب
$E_i$	مؤلفہ بردار میدان الکتریکی
$F$	بردار نیرو
$F_0$	دامنه نیروی تحریک
$f$	فرکانس
$G$	مؤلفه حقیقی ادمیتانس (کندوکتانس)
$g_{mi}$	مؤلفه‌های ماتریس پیزوالکتریک
$I$	جريان الکتریکی
$Im$	مؤلفہ موہومی
$j$	عدد موہومی
$k$	ثابت فنر
$k_{ij}$	ثابت کوپلینگ الکترومکانیکی
$m$	جرم
$N$	تعداد تقسیم‌بندی‌های محدوده فرکانسی
$Q$	بار الکتریکی
$Re$	مولفه حقیقی
$S_{ij}$	مؤلفہ کرنش خطی
$s_{ij}^E$	مؤلفہ ماتریس نرمی بدون اعمال میدان الکتریکی

$T_i$	مؤلفه تنش
$t$	زمان
$u_i$	مؤلفه بردار جابه‌جایی
$V$	ولتاژ الکتریکی
$v$	بردار سرعت
$v_0$	دامنه سرعت
$Y$	ادمیتانس الکترومکانیکی
$Y_{11}, Y_{22}, Y_{33}$	مؤلفه حقیقی مدول الاستیسیته
$\bar{Y}_{11}, \bar{Y}_{22}, \bar{Y}_{33}$	مدول الاستیسیته مختلف
$Z$	امپدانس الکترومکانیکی
$\alpha$	ضریب میرایی جرمی
$\alpha_i^E$	ضریب انبساط حرارتی در میدان الکتریکی ثابت
$\beta$	ضریب میرایی متناسب با ماتریس سفتی
$\delta$	ضریب کاهش دی الکتریک
$\varepsilon_0$	ضریب گذردگی خلا
$\overset{T}{\varepsilon}_{ij}$	مؤلفه ماتریس ضریب گذردگی در تنش ثابت
$\eta$	ضریب افت مکانیکی
$\theta$	دماهی مطلق
$\hat{\mu}$	میانگین داده‌ها
$\nu$	نسبت پوآسون
$\rho$	دانسیته
$\sigma$	انحراف استاندارد
$\omega$	فرکانس زاویه‌ای

## ۱- مقدمه

### ۱-۱- روش‌های آشکارسازی سلامت سازه

آشکارسازی سلامت سازه و شناسایی عیوب در سازه‌ها و تجهیزات مختلف به‌ویژه تجهیزات هواشناسی اهمیت زیادی دارد. بررسی سلامت سازه به دو روش کلی انجام‌پذیر است: فعال<sup>۱</sup> و غیرفعال<sup>۲</sup>. بررسی سلامت سازه به صورت غیرفعال بدین معنی است که برای ارزیابی سازه باید تجهیزات از سرویس‌دهی خارج شوند و اجرای روش‌های بازبینی سلامت سازه همزمان با استفاده از آنها امکان‌پذیر نیست. آزمایش‌های غیرمخرب مانند بازرگی بصری، آزمون مافوق صوت، رادیوگرافی و انتشار امواج آکوستیک<sup>۳</sup> روش‌های سلامت سازه غیرفعال هستند [2]. اجرای این روش‌های آزمایش برای سازه‌های مهندسی پیچیده و بزرگ مانند فضایی‌ها و هواپیماها و اکثر سازه‌های هواشناسی به زمان زیادی نیاز دارد و استخراج نتایج به مهارت کاربر وابسته است. در اغلب این روش‌ها نیاز به اطلاع از محدوده عیوب است و دسترسی به قسمت مورد نظر سازه باید امکان‌پذیر باشد. روش‌های فعال سلامت سازه امکان ارزیابی سازه به صورت همزمان با استفاده از آن را برای کاربر فراهم کند تا بتوان اطلاعات کاملی از شرایط کل سازه حتی نواحی غیرقابل دسترس را در هر زمان دلخواه از سرویس‌دهی بدست آورد.

فاجعه پرواز ۲۴۳ خطوط هوایی آلوها<sup>۴</sup> در ۲۸ آوریل ۱۹۸۸ اتفاق افتاد که علت آن وجود ترک و گسترش این عیوب کوچک در طول سقف بود که مطابق شکل ۱-۱، منجر به جداشدن

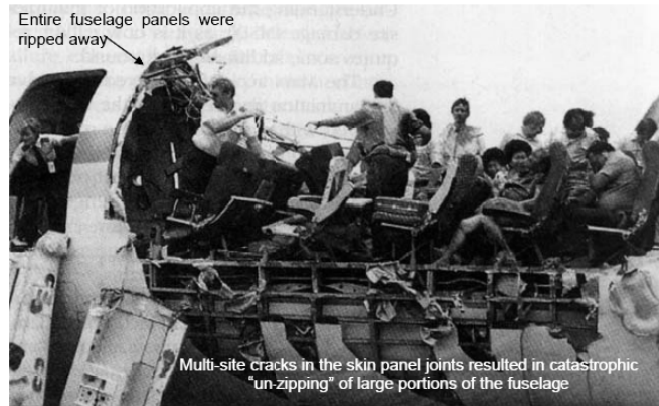
1 active

2 passive

3 acoustic emission

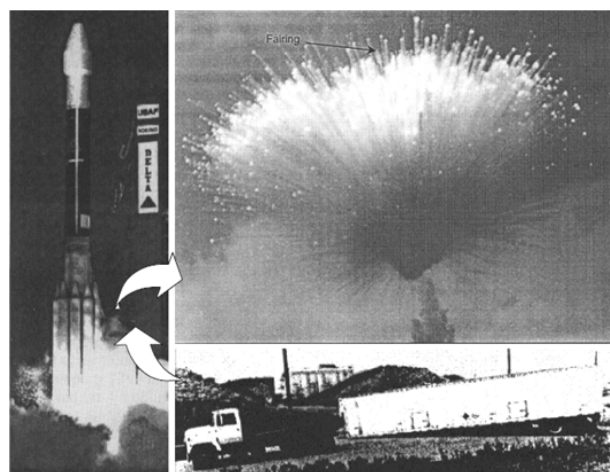
4 Aloha

سقف هواپیما شد. در این حادثه ۶۹ نفر از مسافران و خدمه پروازی آسیب دیدند. لازم به ذکر است که هیچ‌گونه گزارشی از آسیب و خرابی در سازه هواپیما در شروع پرواز و اوج گیری آن گزارش نشده بود[3].



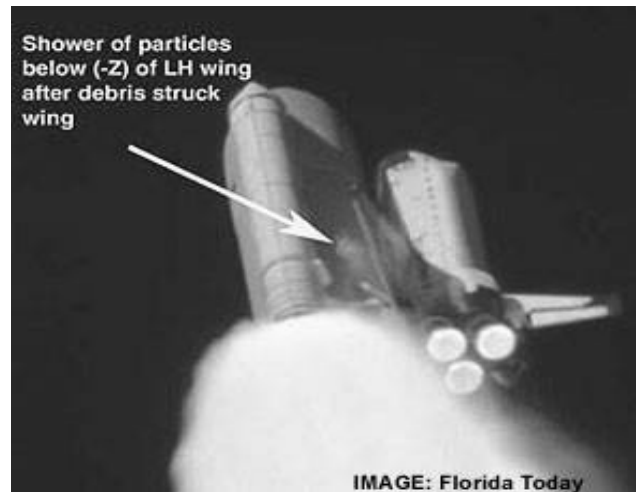
شکل ۱-۱ جداشدن سقف هواپیمای خطوط هوایی آلوها[3]

واقعه ۱۷ ژانویه سال ۱۹۹۷ فاجعه دیگری بود که منجر به انفجار راکت دلتا ۲ شد. این حادثه، ۱۲/۵ ثانیه از شروع روی داد که پس از تحقیقات فراوان، علت حادثه وجود ترک در یکی از موتورهای راکت گزارش گردید. این ترک در هنگام حمل راکت به سمت سکوی پرتاب به وجود آمده بود و در طول پرواز گسترش یافته و در نهایت موجب منفجر شدن راکت گردید [4]. این در حالی است که اگر از روش‌های فعال سلامت سازه در این راکت استفاده می‌شد وجود ترک قبل از پرتاب شناسایی می‌شد.



شکل ۲-۱ انفجار راکت دلتا ۲[4]

از فجایع دیگری که در زمینه هواضا اتفاق افتاده است می‌توان به حادثه فضایی کلمبیا<sup>۱</sup> در ۱۶ ژانویه سال ۲۰۰۳ اشاره کرد. همان‌طور که شکل ۳-۱ نشان داده شده است حادثه در اثر جداسدن تکه‌ای از فوم تانک خارجی سوخت و برخورد آن با لبه حمله<sup>۲</sup> بال سمت چپ فضاییما روی داد[۵].



شکل ۳-۱ انفجار فضایی کلمبیا

سقوط بخشی از ترمینال خطوط هوایی فرانسه در چین مطابق با شکل ۴-۱ حادثه دیگری است که در ۲۳ می سال ۲۰۰۴ روی داد و منجر به کشته شدن چهار نفر و مجروح شدن سه نفر شد. فاجعه مشابه دیگری در ترمینال شماره ۳ فرودگاه بین‌المللی دبی در تاریخ ۲۸ سپتامبر سال ۲۰۰۴ روی داد [۶].



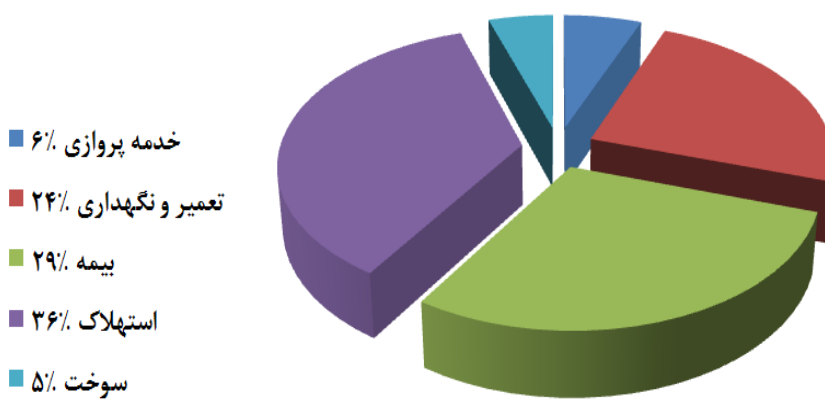
شکل ۴-۱ سقوط بخشی از سقف ترمینال خطوط هوایی فرانسه در چین[۶]

---

1 Columbia  
2 leading edge

این حوادث موجب خسارت‌های جانی و مالی و عدم اطمینان به عملکرد مجموعه‌ها می‌شود. یک راه حل برای جلوگیری از بروز چنین حوادثی استفاده از آزمایش‌های غیرمخرب برای تعیین سلامت سازه است که با توجه به هزینه بسیار بالای این آزمایش‌ها و همچنین عواقب ناشی از تعطیلی ترمینال یا به تعویق انداختن زمان پرتاب راکت دلتا، از انجام آزمایشات آشکارسازی سلامت صرف نظر کردند. اگر اطلاعاتی از سلامت سازه در حین سرویس دهی به کمک روشی با هزینه کم و زمان کوتاه کسب شود، این حوادث هرگز روی نمی‌داد و اکثر شرکت‌ها آزمایش‌های سلامت سازه را انجام می‌دادند. برای دستیابی به این اهداف روش‌های فعال سلامت سازه بر مبنای تغییر در پاسخ دینامیکی سازه و بکارگیری مواد هوشمند<sup>۱</sup> در سازه‌های مختلف ارائه شده است [3].

عملیات تعمیر و نگهداری هزینه‌های زیادی را بر شرکت‌های استفاده‌کننده از تجهیزات هوایی تحمیل می‌کند و همان‌طور که در شکل ۱-۵ نشان داده شده است هزینه تعمیر و نگهداری در صنایع هوایی حدود یک چهارم هزینه‌های عملیاتی را شامل می‌شود که این هزینه را می‌توان به کمک روش فعال بررسی سلامت سازه به میزان قابل توجهی کاهش داد. به‌طور مشابه روش‌های فعال بررسی سلامت سازه را می‌توان در بازرگانی سیستم‌های حمل و نقل کشتی‌ها، حمل و نقل جاده‌ای، دستگاه‌های حیاتی، سدها، پل‌ها، تجهیزات نیروگاه‌ها، راکتورهای هسته‌ای، برج‌ها و آسمان‌خراش‌ها استفاده کرد تا از بروز وقایع در این مجموعه‌ها جلوگیری شود و هزینه نگهداری آنها کاهش یابد [7].



شکل ۱-۵ هزینه‌های عملیاتی هوایی به صورت تفکیکی [3]